

تجزیه بای‌پلات داده‌های تلاقی دی‌آلل تیپ‌آلودگی زنگ زرد گندم Biplot Analysis of Diallel Cross Data for Infection Type of Wheat Stripe Rust

حمید دهقانی، محمد ترابی، محمد مقدم و محمدرضا قنادها

مؤسسه تحقیقات اصلاح و تهیه نهال و بذر و دانشکده کشاورزی دانشگاه تربیت مدرس

تاریخ دریافت: ۱۵/۰۵/۸۳

چکیده

دهقانی، ح.، ترابی، م.، مقدم، م.، قنادها، م. ر.، ۱۳۸۴. تجزیه بای‌پلات داده‌های تلاقی دی‌آلل تیپ‌آلودگی زنگ زرد گندم. نهال و بذر: ۱۲۳-۱۳۸.

تلاقی دی‌آلل در مطالعات ژنتیکی برای تعیین نحوه توارث صفات مهم در بین مجموعه‌ای از ژنو‌تیپ‌ها برای تشخیص والدین بتر در تولید هیرید و یا اصلاح ارقام استفاده می‌شود. کنترل ژنتیکی صفت تیپ‌آلودگی زنگ زرد در یک تلاقی دی‌آلل یک طرفه برای شش رقم گندم شامل Tiritea (شاهد حساس)، Briscard و Karamu، Otane، Kotare، Tancred آن‌ها برای سه پاتوتیپ زنگ زرد⁺, 38E0A⁺, 7E18A⁻ و 134E134A⁺ ارزیابی شدند. برای هر پاتوتیپ یک طرح بلوک‌های کامل تصادفی با سه تکرار برای ۲۱ تیمار استفاده شد. روش بای‌پلات که بواسطه دو مؤلفه اصلی روی داده‌های متمرکز دی‌آلل بنا شده است، برای این مطالعه به کار گرفته شد. تجزیه واریانس اختلافات معنی‌دار بین ۲۱ تیمار برای صفت تیپ‌آلودگی نشان داد. تغییر پاتوتیپ‌ها دلیل پدیده برگشت غالیت در اکثر تلاقی‌ها بود. رقم Briscard برای پاتوتیپ‌های 38E0A⁺ و 134E134A⁺ و رقم Kotare برای پاتوتیپ 7E18A⁻ دارای بیشترین اثر ترکیب‌پذیری عمومی (GCA) برای صفت تیپ‌آلودگی بودند، بنا بر این در والدین مذکور به دلیل بزرگی GCA، اثر افزایشی در کنترل صفت تیپ‌آلودگی نقش مهمی دارند، لذا می‌توان از آن‌ها در برنامه‌های اصلاحی برای تولید ارقام مقاوم به زنگ زرد استفاده نمود. بیشترین ترکیب‌پذیری خصوصی (SCA) منفی در تلاقی Kotare × Karamu برای پاتوتیپ 7E18A⁻، در تلاقی Tiritea × Otane و در تلاقی Briscard × Kotare برای پاتوتیپ 134E134A⁺ مشاهده شد. مقادیر SCA نشان‌دهنده اثر غالیت برای مقادیر پایین صفت تیپ‌آلودگی بود. نتایج نشان داد که تیپ‌آلودگی به عنوان یک جزء مقاومت تحت کنترل ژنتیکی است و انتخاب برای این صفت می‌تواند در برنامه‌های اصلاحی گندم مؤثر باشد.

واژه‌های کلیدی: گندم، زنگ زرد، تیپ‌آلودگی، بای‌پلات، ترکیب‌پذیری عمومی، ترکیب‌پذیری خصوصی، مؤلفه اصلی.

ارقام مورد مطالعه در گلخانه ارائه شده است

(Wilcoxson *et al.*, 1975 ; Broers, 1997)

یکی از اجزای مقاومت، تیپ آلودگی می باشد که اثر متقابل میزان و بیمارگر تعريف می شود و تحت تأثیر شرایط محیطی، سن میزان ارزیابی گاه قرار می گیرد زمان (Roelfs *et al.*, 1992). محققین مختلفی نیز گزارش کرده اند که با کاهش تیپ آلودگی میزان مقاومت افزایش می یابد (Park and Rees, 1989 ; Broers, 1997)

تنوع برای صفت تیپ آلودگی زنگ زرد توسط پژوهشگران مختلف گزارش شده است (Line *et al.*, 1974 ; Broers, 1997)؛ Ma and Singh, 1996؛ Moghaddam *et al.*, 2002 (Chen and Line, 1992a, b and 1993

بنابراین استفاده از تنوع ژنتیکی موجود نیازمند تعیین نحوه عمل ژن (های) کنترل کننده مقاومت و مشخص نمودن سهم هر کدام از اجزای واریانس ژنتیکی می باشد تا با بهره برداری از قدرت ترکیب پذیری عمومی و خصوصی به دست آمده و به کارگیری روش های اصلاحی متناسب از مقاومت مذبور در اصلاح برای مقاومت به زنگ زرد استفاده گردد. در این راستا چن و لاین (Chen and Line, 1995b) دی آلل ۴ × ۴ کامل به همراه والدین و نسل های F₁, F₂, Bc₁ و Bc₂, و راثت پذیری عمومی را

مقدمه

زنگ زرد (Yellow rust) یا زنگ نواری (Stripe rust) که عامل آن قارچ *Puccinia striiformis f. sp. tritici* می باشد، از بیماری های مهم گندم به شمار می آید. این بیماری اولین بار در ایران توسط اسفندیاری (۱۳۲۶) شناسایی شد. میزان خسارت این بیماری در سال زراعی ۱۳۷۲-۱۳۷۱ در بسیاری از مزارع ایران متجاوز از ۳۰ درصد بود و متوسط کاهش محصول در سطح ملی حدود ۱۵ درصد برآورد گردید که این مقدار معادل ۱/۵ میلیون تن گندم بود (Torabi *et al.*, 1995).

mekanizm اساسی کنترل زنگ زرد به کارگیری صحیح مقاومت ژنتیکی و استفاده از رقم مقاوم شناخته شده است (Johnson, 1981; Ghannadha *et al.*, 1995؛ Moghaddam *et al.*, 2002؛ Roelfs *et al.*, 1992 همکاران ۱۳۷۷)، اما به دلیل این که مقاومت اختصاصی پایدار نیست، محققین در جستجوی انواع دیگر مقاومت، از جمله مقاومت تدریجی (Slow rusting resistance) می باشند (Wiese, 1991). در ارقام با مقاومت تدریجی، دوره نهان طولانی تر، تیپ آلودگی پایین تر، مقدار اسپور تولیدی کمتر و جوش های تولید شده روی آن ها کوچک تر می باشد (Tsomin *et al.*, 1990). در گزارش های متعددی همبستگی مقاومت مزرعه ای با اندازه گیری مقاومت تدریجی در برگ های

آلودگی حاصل از تلاقی دی‌آلل به روش بای‌پلات صورت گرفت. هر چند که روش بای‌پلات برای آزمایش‌های ناحیه‌ای طراحی شده (Yan, 1999؛ Cooper *et al.*, 1997) امکان کاربرد آن برای همه داده‌های دوطرفه که ساختار ژنتیک- تست دارند، از جمله داده‌های آزمایش دی‌آلل که در آن هر والد هم انتری (Entry) هم یک تست (Tester) می‌باشد، فراهم است (Yan and Hunt, 2002). هدف اول این مطالعه مهیا نمودن توصیف جزئیات ساختار روش بای‌پلات و تفسیر نتایج GGEbiplot و هدف دوم توضیح کاربرد بای‌پلات و تفسیر نتایج آزمایش دی‌آلل برای صفت تیپ آلودگی زنگ زرد است.

مواد و روش‌ها

میزان، عامل بیماری و آزمایش‌های گلخانه‌ای، Otane، Kotare، Tancred، Briscard، Karamu، Tiritea (در یک طرح تلاقی دی‌آلل شامل، شش والد و پانزده دورگ)، یک طرفه مورد بررسی قرار گرفتند. در این آزمایش سه پاتوتیپ $7E18A^-$ ، $38E0A^+$ و $134E134A^+$ زنگ زرد گندم پس از تعیین نژاد و نامگذاری به روش جانسون و همکاران (Johnson *et al.*, 1972) مصنوعی گیاهچه‌ها و انجام آزمایش‌ها در گلخانه زنگ زرد واحد پاتولوژی غلات مؤسسه

۹۵٪ و وراثت‌پذیری خصوصی را ۸۶٪ برآورد نمودند. در آزمایشی ما و همکاران (Ma *et al.*, 1997) برای استفاده از زمینه ژنتیکی ژنتیکی ژنوتیپ‌های گندم durum به زنگ زرد، تلاقی دی‌آلل بین پنج رقم گندم مقاوم به زنگ زرد را با یک رقم حساس (Local Red) ژن‌های کنترل کننده تیپ آلودگی را افزایشی گزارش کردند. نقوی و همکاران (۱۳۷) به منظور مطالعه و ارزیابی نحوه توارث مقاومت در تعدادی از ارقام گندم، در یک آزمایش دی‌آلل یک طرفه با استفاده از دو نژاد زنگ زرد گزارش نمودند که برای نژاد اول نسبت واریانس افزایشی به غیرافزایشی دارای اهمیت بیشتری بود در حالی که در مورد نژاد دوم واریانس افزایشی نسبت به غیرافزایشی از اهمیت کمتری برخوردار بود. درصد وراثت‌پذیری عمومی و خصوصی را برای نژاد اول به ترتیب ۹۷٪ و ۶۳٪ و برای نژاد دوم به ترتیب ۹۷٪ و ۱۲٪ مشاهده کردند. مقدم و همکاران (Moghaddam *et al.*, 2002) با استفاده از تجزیه میانگین نسل‌ها در ارزیابی مقاومت به زنگ زرد پدیده بازگشت غالیت در دو تلاقی مختلف برای دو نژاد متفاوت زنگ زرد را مشاهده نمودند و متوسط درصد وراثت‌پذیری عمومی و خصوصی را به ترتیب ۶۹ و ۴۸ درصد گزارش کردند.

این مطالعه برای بررسی مقاومت ژنتیکی به زنگ زرد گندم با استفاده از داده‌های تیپ

مدل ریاضی و تجزیه داده‌ها

برای تجزیه داده‌های از روش گرافیکی بای‌پلات استفاده شد. بای‌پلات برای اولین بار توسط گابریل (Gabriel, 1971) تشریح شد و مدل رگرسیونی SREG2 که توسط یان و همکاران (Yan *et al.*, 2001) معرفی شده بود، برای تجزیه داده‌های دی‌آلل به روش بای‌پلات براساس دو مولفه اصلی اول و دوم به صورت زیر استفاده شد:

$$Y_{ij} - \beta_j = \lambda_1 \xi_{i1} \xi_{j1} + \lambda_2 \xi_{i2} \xi_{j2} + \varepsilon_{ij}$$

در مدل فوق β_j ارزش ژنتیپی هر ترکیب (والد یا دورگ) بین ژنتیپ نام و تست زام برای صفت مورد نظر، β میانگین همه ترکیب‌های مربوطه تست زام، λ_1 و λ_2 مقادیر منفرد مولفه اصلی اول و دوم، ξ_{i1} و ξ_{i2} بردارهای مشخصه اول و دوم برای ژنتیپ نام و ξ_{j1} و ξ_{j2} بردارهای مشخصه مولفه اصلی اول و دوم برای تست زام، ε_{ij} مقادیر باقیمانده مربوط به ترکیب ژنتیپ نام و تست زام می‌باشد.

در نرم افزار آماری SAS (SAS Institute, 1996) مقادیر منفرد با بردارهای مشخصه ترکیب می‌شود که مدل فوق به صورت زیر در می‌آید:

$$Y_{ij} - \beta_j = (\lambda_1 \xi_{i1}) \eta_{j1} + (\lambda_2 \xi_{i2}) \eta_{j2} + \varepsilon_{ij}$$

برای نمایش مولفه اصلی اول (PC_1) و مولفه اصلی دوم (PC_2) در یک بای‌پلات، مدل فوق به صورت زیر تعریف می‌شود:

$$Y_{ij} - \beta_j = \xi_{i1}^* \eta_{j1}^* + \xi_{i2}^* \eta_{j2}^* + \varepsilon_{ij}$$

تحقیقات اصلاح و تهیه نهال و بذر کرج در سال ۱۳۸۰ مورد استفاده قرار گرفتند. تکثیر اسپور بر روی رقم حساس بولانی که قادر هر گونه ژن (های) مقاومت به زنگ زرد است انجام شد. اسپور تولیدی در حجم کم، در شرایط فریزر -۷۰- درجه سانتی گراد نگهداری شد تا به اندازه کافی برای مایه‌زنی مصنوعی ۲۱ ترکیب تیماری (والدین و نتاج F_1) در دسترس باشد. موقع مایه‌زنی مصنوعی، اسپورهای ذخیره شده در فریزر تحت تیمار شوک حرارتی به مدت چهار دقیقه در درجه حرارت ۴۲ درجه سانتی گراد قرار داده شدند تا قدرت جوانه‌زنی خود را مجدداً به دست آورند (Roelfs *et al.*, 1992).

برای هر پاتوتیپ مورد استفاده در آزمایش، ۱۵ بذر از هر ترکیب تیماری در داخل ژرمنیاتور جوانه‌زده و سپس به گلدان منتقل شدند. عملیات کاشت و مایه‌زنی مصنوعی کاملاً مشابه با روش کاردھقانی و همکاران (Dehghani *et al.*, 2002) بود. ترکیب‌های تیماری (۲۱ تیمار) با استفاده از طرح آزمایشی بلوک‌های کامل تصادفی با سه تکرار برای هر پاتوتیپ، به صورت جداگانه و در شرایط کاملاً مشابه و ایزوله مورد ارزیابی قرار گرفتند. پس از مایه‌زنی مصنوعی در روز هفدهم با استفاده از روش مکنیل و همکاران (McNeal *et al.*, 1971) تیپ آلسودگی یادداشت برداری شد.

نهایتاً مقادیر مولفه اصلی اول و دوم در مقابل یکدیگر پلات شدند. داده‌های آزمایش با استفاده از نرم‌افزار GGEbiplot مورد تجزیه و تحلیل گرافیگی قرار گرفتند و تجزیه بای‌پلات برای نتایج حاصل از واکنش والدین و هیریدهای F_1 نسبت به سه پاتوتیپ $38E0A^+$ ، $7E18A^-$ و $134E134A^+$ مورد استفاده قرار گرفت. تا با استفاده از روش بای‌پلات بررسی قابلیت ترکیب‌پذیری عمومی و خصوصی تعیین گروه‌های هترووتیک صورت گیرد.

نتایج و بحث

نتایج حاصل از تجزیه واریانس داده‌ها (جدول ۱) اختلاف معنی‌دار بین ژنوتیپ‌ها از نظر تیپ آلدگی در سطح احتمال ۱٪ برای سه پاتوتیپ زنگ زرد را نشان داد. بنابراین امکان ارزیابی ژنتیکی نتایج حاصل از تلاقی دی‌آلل یک طرفه برای بررسی قدرت ترکیب‌پذیری عمومی و خصوصی فراهم بود. تنوع ژنتیکی برای صفت تیپ آلدگی توسط محققین مختلف؛ Cromey, 1992؛ Chen and Line, 1995a) و Moghaddam *et al.*, 2002 همکاران، ۱۳۷۷) گزارش شده است. میانگین تیپ آلدگی والدین و نتایج دورگ در جدول ۲ درج شده است. نتایج حاصل، واکنش‌های متفاوت از حساس تایمه مقاوم برای ژنوتیپ‌های مختلف نشان داد، از جمله واکنش‌های متفاوت، وجود مقاومت برای پاتوتیپ $7E18A^-$ و واکنش حساسیت برای

$\eta_{jk}^* = \lambda_k^{1/2} \eta_{jk}$, $\xi_{ik}^* = \lambda_k^{1/2} \xi_{ik}$ که می‌باشد که مقادیر k برابر با ۱ یا ۲ خواهد بود. در روش مقیاس متقارن (Symmetrical scale) برای به دست آوردن Pc_1 و Pc_2 با استفاده از نرم‌افزار SAS (SAS Institute, 1996) ماتریس داده‌ها به صورت جدول دو طرفه ژنوتیپ (ردیف) و تستر (ستون)، مهیا شد تا تجزیه‌های لازم، انجام شود (Yan and Hunt, 2002).

مولفه‌های اصلی اول و دوم براساس ماتریس واریانس-کوواریانس محاسبه شدند. بردارهای مشخصه دو مولفه اصلی (Pc_s) برای هر ژنوتیپ ξ_{j2} , λ_{j1} , ξ_{11} , λ_{j2} و هر تستر η_{j1} , η_{j2} و مقادیر Pc_1 و Pc_2 می‌باشد. مقادیر ریشه مشخصه برای Pc_1 و Pc_2 منفرد برابر با حاصل ضرب ریشه مشخصه در تعداد ژنوتیپ‌ها می‌باشد که به صورت زیر محاسبه می‌گردید:

$$\lambda_k^{1/2} = \left(x_k^n \right)^{1/4}$$

x_k برابر ریشه مشخصه مولفه اصلی λ_k و تعداد ژنوتیپ‌ها می‌باشد. مقادیر بردارهای مشخصه در بای‌پلات با تقسیم کردن بردار مشخصه ژنوتیپ‌ها و ضرب کردن مقادیر بردار مشخصه تسترهای در مقادیر منفرد مربوط محاسبه شدند:

$$\xi_{ik}^* = \lambda_k^{1/2} \xi_{ik} = (\lambda_k \xi_{ik})^{1/2}$$

$$\eta_{jk}^* = \lambda_k^{1/2} \eta_{jk} = \eta_{jk} \lambda_k^{1/2}$$

Moghaddam *et al.*, 2002 نیز پدیده برگشت غالیت و تغییرات نحوه عمل ژن را وقتی که از پاتوتیپ‌های متفاوت استفاده نمودند گزارش کردند. فاکتورهای محیطی همچون نور و درجه حرارت می‌توانند عامل تغییر در بیان مقاومت و ایجاد پدیده مذکور باشد، اما از آن جایی که این آزمایش‌ها برای سه پاتوتیپ مورد مطالعه در شرایط محیطی یکسان و کنترل شده انجام شد، بنابراین پدیده برگشت غالیت می‌تواند ناشی از اثر متقابل ژن‌های میزان و عامل بیماری باشد. فرضیات دیگری هم برای پدیده برگشت غالیت وجود دارد که از آن جمله می‌توان اثر دُر ژن‌های دارای لینکاژ با ژن‌های مقاومت و یا اثر هتروزیگوزیستی پاتوژن عامل بیماری که مکانیزم عمل آن مشخص نیست، ذکر کرد (Lupton and Macer, 1962)؛ (Robbelen and Sharp, 1978).

گزارشی برای استفاده از GGEbiplot برای مقاومت به زنگ تاکنون منتشر نشده است و فقط یان و هانت (Yan and Hunt, 2002)

Kotare بود که میانگر پدیده برگشت غالیت می‌باشد. وجود واکنش‌های متفاوت دلیلی بر وجود تنوع و امکان انتخاب برای مقاومت به زنگ زرد می‌باشد (Chen and Line, 1992a and 1993)؛ Ghannadha *et al.*, 1995 (Moghaddam *et al.*, 2002). بنابراین برای برآورد قابلیت ترکیب پذیری عمومی و خصوصی و تعیین بهترین هیبرید و بهترین لاین از روش بای‌پلات استفاده شد. با توجه به این که هنوز ژن (های) مقاومت در این ارقام شناسایی نشده‌اند، تغییرات نحوه عمل ژن به وسیله پاتوتیپ‌های متفاوت به دلیل اثر متقابل بین ژن‌های مقاومت در ارقام مورد مطالعه و ژن‌های بیماری‌ای در پاتوتیپ‌های مورد استفاده، می‌باشد (Ghannadha *et al.*, 1995)؛ Chen and Line, 1992 a, b, 1993)؛ Dehghani *et al.*, 2002؛ Ghannadha *et al.*, 1995

جدول ۱- میانگین مربعات تیپ آلودگی برای سه پاتوتیپ زنگ زرد گندم

Table 1. Mean squares of infection type for three pathotypes of wheat stripe rust

S.O.V.	منابع تغییرات	درجه آزادی	Pathotype		
			7E18A ⁻	38E0A ⁺	134E134A ⁺
Replication	تکرار	2	0.718 ^{ns}	0.444 ^{ns}	0.075 ^{ns}
Genotype	زنگ	20	18.213**	3.691**	5.575**
Error	اشتباه آزمایشی	40	0.706	0.844	0.525
C.V.%	ضریب تغییرات		15.36	14.62	12.99

**: Significant at 1% probability level.

**: معنی دار در سطح احتمال ۱٪.

ns: Non-significant.

ns: غیر معنی دار.

جدول ۲- میانگین تیپ آلدگی والدین و نتاج F₁ برای سه پاتوتیپ زنگ زرد گندم
Table 2. Mean of infection type for parents and F₁s for three pathotypes
of wheat stripe rust

Pathotype	Genotype	Entry					
		Tiritea	Briscard	Karamu	Otane	Kotare	Tancred
7E18A ⁻	Tiritea	8.67 a	7.67 ab	7.67 ab	7.67 ab	7.17 abc	6.50 bcde
	Briscard	7.67	5.5 de	5.83 cde	5.67 cde	1.00 f	6.50 bcde
	Karamu	7.67	5.83	5.33 e	6.5 bcde	1.00 f	6.50 bcde
	Tester	Otane	7.67	5.67	6.50	7.00 bcd	7.00 bcd
	Kotare	7.17	1.00	1.00	7.00	7.00	1.33 f
	Tancred	6.50	6.50	6.50	8.00	8.00	7.17 abc
	Mean	7.56	5.36	5.47	6.97	5.20	6
38E0A ⁺	Tiritea	7.67 a	7.00 ab	7.50 a	5.17 cdef	7.33 ab	6.50 abc
	Briscard	7.00	3.67 f	4.67 def	4.5 ef	5.67 bcde	6.17 abcde
	Karamu	7.50	4.67	4.83 cdef	7.00 ab	6.50 abc	4.67 def
	Tester	Otane	5.17	4.50	7.00	6.70 abcd	6.00 abcde
	Kotare	7.33	5.67	6.50	6.00	7.00 ab	6.17 abcde
	Tancred	6.50	6.17	4.67	6.33	6.17	5.17 cdef
	Mean	6.86	5.28	5.86	5.95	6.45	5.84
134E134A ⁺	Tiritea	6.67 abc	6.83 ab	6.67 abc	7.32 a	7.33 a	7.50 a
	Briscard	6.83	4.00	4.50 de	5.67 bcd	1.33 f	5.17 de
	Karamu	6.67	4.50	4.83 de	5.33 cde	5.00 de	5.67 bcd
	Tester	Otane	7.33	5.67	5.33	5.83 bcd	5.33 cde
	Kotare	7.33	1.33	5.00	5.33	5.83 bcd	5.67 bcd
	Tancred	7.50	5.17	5.00	5.67	5.67	5.67 bcd
	Mean	7.06	4.58	5.22	5.86	5.08	5.28

برای هر پاتوتیپ، میانگین‌هایی که دارای حرف مشترک می‌باشند، در سطح احتمال ۱٪ اختلاف معنی دار ندارند.

Means for each pathotype followed by the same letter are not significantly different at 1% probability level according to DMRT.

نتایج حاصل از تجزیه بای‌پلات برای تعیین واریانس مؤلفه‌های اصلی، سهم نسبی و سهم تجمعی مؤلفه‌های اصلی در بیان واریانس کل و برای هر پاتوتیپ به صورت جداگانه در جدول ۳ درج شده است. نتایج تجزیه به مؤلفه‌های اصلی نشان داد که برای پاتوتیپ

ضممن توصیف این روش، از آن برای بررسی مقاومت به فوزاریوم در هفت ژنوتیپ گندم در تلاقي دی‌آلل استفاده نموده‌اند. در این تحقیق از روش، بای‌پلات در تفسیر ترکیب‌پذیری عمومی و خصوصی در مقاومت به زنگ زرد بر مبنای مطالعه فوق الذکر استفاده شد.

Briscard>Karamu>Tancred≈Otane>Kotare>Tiritea
 ۱۳۴E134A⁺ قرار می‌گیرند و در پاتوتیپ ۷E18A⁻ ۱۳۴E134A⁺ ژنوتیپ ها دارای رتبه‌بندی Briscard>Kotare≈Karamu>Tancred>Otane>Tiritea می‌باشد. اما از آن جایی که صفت مورد مطالعه صفت تیپ آلودگی می‌باشد ژنوتیپ‌های قرار گرفته در ربع دوم و چهارم صفحه مختصات تستر متوسط (شکل ۱) قابلیت ترکیب‌پذیری بهتری برای ایجاد مقاومت به رنگ زرد (یعنی تیپ آلودگی پایین) را نشان دادند. بنابراین شکل ۱ نشان می‌دهد برای پاتوتیپ ۷E18A⁻، رقم Kotare بیشترین میزان قابلیت ترکیب‌پذیری عمومی برای تیپ آلودگی پایین را دارد و این رقم دارای مقاومت خوبی به زنگ زرد می‌باشد و می‌توان به عنوان یک رقم مقاوم برای این نژاد انتخاب شود. ارقام Otane و Tiritea دارای قابلیت ترکیب‌پذیری بالا، برای تیپ آلودگی بالا (حساسیت) برای نژاد ۷E18A⁻ می‌باشند. در پاتوتیپ‌های Briscard ۱۳۴E134A⁺ و ۳۸E0A⁺ دارای بیشترین اثر GCA (منفی) نسبت به سایر والدین برای مقاومت به زنگ زرد بود، یعنی براساس شکل ۱ والد مزبور در ربع دوم، با بیشترین فاصله نسبت به محور عمودی ATC قرار گرفته است. رتبه‌بندی ارقام براساس میانگین صفت تیپ آلودگی برای پاتوتیپ ۷E18A⁻ به صورت Kotare>Briscard≈Karamu>Tancred<Otane<Tritiea می‌باشد. این رتبه‌بندی

۷E18A⁻، ۱۳۴E134A⁺ کل تغییرات به وسیله دو مؤلفه اصلی اول (۷۲٪) و دوم (۲۲٪)، برای پاتوتیپ ۳۸E0A⁺، ۷۲٪ کل واریانس (با سهم نسبی ۴۸٪ برای مؤلفه اصلی اول و ۲۴٪ برای مؤلفه اصلی دوم) و برای پاتوتیپ ۱۳۴E134A⁺، ۹۳٪ کل تغییرات به ترتیب ۶۵٪ و ۲۸٪ به وسیله مؤلفه اصلی اول و دوم توضیح داده می‌شود. برای رسم بای‌پلات ابتدا مقادیر نمرات مؤلفه اصلی قبل از مقیاس‌بندی محاسبه شدند (جدول ۴)، سپس از نمرات مقیاس‌بندی شده (جدول ۵) برای رسم نمودارهای بای‌پلات استفاده گردید. یان و هانت (Yan and Hunt, 2002) اثر قدرت ترکیب‌پذیری عمومی (GCA) و ترکیب‌پذیری خصوصی (SCA) را برای ژنوتیپ‌های گندم براساس تعریف مختصات تستر متوسط Average Tester Coordinate: (ATC) مشخص نمودند. تستر متوسط دارای نمرات Pc_1 و Pc_2 برابر با متوسط نمرات Pc_1 و Pc_2 در همه تسترها می‌باشد (Yan and Hunt, 2002). در روش بای‌پلات فاصله افقی لاین تا محور عمودی مختصات تستر متوسط نشان‌دهنده اثر GCA لاین‌ها می‌باشد و خطوط موازی عمود بر محور افقی ATC رتبه‌بندی لاین‌ها نشان‌دهنده اثر GCA می‌باشد (Yan and Hunt, 2002). براین اساس برای پاتوتیپ ۷E18A⁻ ژنوتیپ‌ها به صورت Kotare>Briscard≈Karamu>Tancred<Otane<Tritiea برای پاتوتیپ ۳۸EOA⁺ به ترتیب

جدول ۳- سهم نسبی، سهم تجمعی و واریانس ریشه‌های مشخصه برای سه پاتوتیپ زنگ زرد گندم

Table 3. Relative and cumulative proportion and variance of latent roots for three pathotypes of wheat stripe rust

Pathotype	Latent roots	واریانس ریشه مشخصه	سهم نسبی Relative proportion	سهم تجمعی Cumulative proportion
		Variance of latent root		
7E18A ⁻	First	19.39	0.72	0.72
	Second	6.04	0.22	0.94
	Third	0.86	0.03	0.97
	Fourth	0.69	0.03	1.00
	Fifth	0.05	0.00	1.00
	Sixth	0.00	0.00	1.00
38E0A ⁺	First	2.78	0.48	0.48
	Second	1.46	0.24	0.72
	Third	1.21	0.21	0.93
	Fourth	0.39	0.07	1.00
	Fifth	0.01	0.00	1.00
	Sixth	0.00	0.00	1.00
134E134A ⁺	First	6.20	0.65	0.65
	Second	2.71	0.28	0.93
	Third	0.57	0.06	0.99
	Fourth	0.10	0.01	1.00
	Fifth	0.01	0.00	1.00
	Sixth	0.00	0.00	1.00

جدول ۴- مقادیر نمرات مؤلفه‌های اصلی، قبل از مقیاس‌بندی برای تیپ آلدگی سه پاتوتیپ زنگ زرد گندم

Table 4. Principal components scores before scaling for three pathotypes of wheat stripe rust

Pathotype	Genotype	Entries		Testers	
		Pc ₁	Pc ₂	Pc ₁	Pc ₂
7E18A ⁻	Tiritea	4.758	2.090	0.081	0.126
	Briscard	-0.692	-2.132	0.474	-0.316
	Karamu	-0.745	-2.038	0.507	-0.247
	Otane	3.718	2.118	0.053	0.090
	Kotare	-7.682	2.497	0.535	0.820
	Tancred	0.643	-2.535	0.472	-0.378
38E0A ⁺	Tiritea	2.749	0.430	0.128	0.608
	Briscard	-1.789	-0.393	0.594	0.461
	Karamu	-1.342	1.063	0.676	-0.478
	Otane	0.011	-2.208	-0.082	0.009
	Kotare	0.982	0.151	0.321	0.212
	Tancred	-0.611	0.957	0.254	-0.379
134E134A ⁺	Tiritea	4.073	0.382	-0.018	-0.092
	Briscard	-3.289	2.020	0.557	0.744
	Karamu	-0.574	-0.020	0.284	-0.012
	Otane	0.757	0.619	0.245	0.130
	Kotare	-1.540	-2.994	0.674	-0.649
	Tancred	1.573	-0.006	0.306	-0.022

Pc₁ and Pc₂ are the first and second principal components, respectively.

Pc₁ به ترتیب مؤلفه‌های اصلی اول و دوم می‌باشد.

جدول ۵- مقادیر نمرات مؤلفه‌های اصلی برای رسم نمودارهای بای‌پلات تیپ آلدگی سه پاتوتیپ زنگ زرد گندم

Table 5. Principal components scores used for generating the biplot for three pathotypes of wheat stripe rust

Pathotype	Genotype	Entries		Testers	
		x-axis ξ_{i1}^*	y-axis ξ_{i2}^*	x-axis η_{j1}	y-axis η_{j2}
7E18A ⁻	Tiritea	1.449	0.852	0.266	0.309
	Briscard	-0.211	-0.869	1.0557	-0.776
	Karamu	-0.227	-0.831	1.0665	-0.607
	Otane	1.132	0.863	0.174	0.221
	Kotare	-2.339	1.018	1.758	2.011
	Tancred	0.169	-1.033	1.549	-0.928
38E0A ⁺	Tiritea	1.360	0.250	0.259	1.046
	Briscard	-0.885	-0.229	1.201	0.792
	Karamu	-0.664	0.619	1.365	-0.821
	Otane	0.005	-1.285	-0.165	0.016
	Kotare	0.486	0.088	0.648	0.365
	Tancred	-0.302	0.557	0.514	-0.652
134E134A ⁺	Tiritea	1.649	0.19	-0.045	-0.185
	Briscard	-1.332	1.005	1.377	1.495
	Karamu	-0.232	-0.010	0.700	-0.024
	Otane	0.307	0.308	0.605	0.260
	Kotare	-0.624	-1.489	1.666	-1.305
	Tancred	0.232	-0.003	0.755	-0.044

می‌توانند در برنامه‌های اصلاحی جهت به دست آوردن مقاومت بیشتر مورد استفاده قرار گیرند.

در هر حال اگر چه اختلافاتی از نظر رتبه‌بندی میانگین و GCA وجود دارد، اما بای‌پلات به صورت صحیح و دقیق ارقام دارای بزرگترین و کوچکترین اثر GCA را برای هر سه پاتوتیپ معرفی می‌نماید. بای‌پلات مقادیر ترکیب‌پذیری خصوصی را نیز برای دورگهای حاصل برای هر پاتوتیپ مورد مطالعه مشخص می‌نماید. از آن جایی که اثر ترکیب‌پذیری

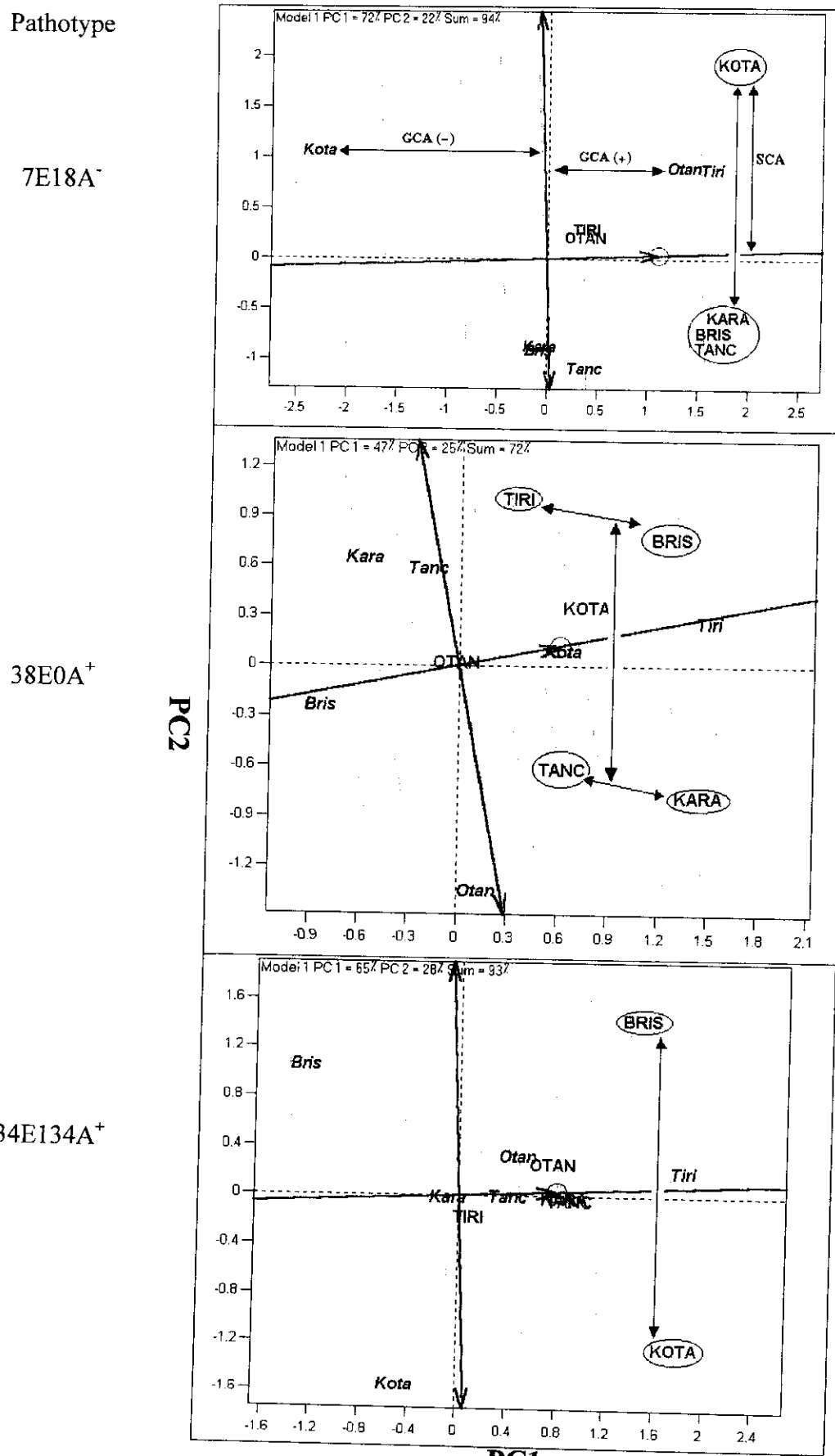
برای پاتوتیپ 38E0A⁺ از قرار

Briscard < Karamu < Otane ≈ Tancred < Kotare < Tiritea

و برای پاتوتیپ 134E134A⁺ به ترتیب

Briscard < Karamu < Otane ≈ Kotare < Tancred < Tiritea

می‌باشد که رتبه‌بندی ژنوتیپ‌ها براساس میانگین‌ها در توافق با رتبه‌بندی با مقادیر قابلیت ترکیب‌پذیری عمومی ارقام می‌باشد. نتایج به دست آمده مطابق با گزارش یان و هانت (Yan and Hunt, 2002) برای بیماری فوزاریوم سبله گندم می‌باشد. با وجود این ارقام دارای GCA منفی برای پاتوتیپ‌های مختلف



شکل ۱- نمودارهای بای پلات تیپ آلدگی سه پاتوتیپ زنگ زرد گندم

بنابراین ژنوتیپ‌ها و دورگ‌های دارای مقادیر منفی به عنوان ارقام و هیبریدهای مقاوم انتخاب می‌شوند.

وقتی که در صد تغییرات توضیح دو مؤلفه اصلی اول کاهش می‌یابد میزان توانایی بای‌پلات در تعیین و تفسیر ترکیب‌پذیری عمومی و خصوصی کاهش می‌یابد. در این تناسب نسبت مستقیم برقرار است (Yan and Hunt, 2002). این مطلب برای پاتوتیپ $38E0A^+$ که سهم نسبی دو مؤلفه اصلی اول و دوم ۷۲٪ از کل واریانس می‌باشد صادق است و قدرت ترکیب‌پذیری به خوبی قابل تمایز نیست.

در مجموع از بین ژنوتیپ‌های مورد مطالعه، رقم Briscard دارای اثر ترکیب‌پذیری بالای در تلاقی با سایر ارقام برای پاتوتیپ $134E134A^+$ می‌باشد و ترکیب‌پذیری خصوصی دورگ \times Kotare، Briscard \times Kotare \times Tiritea باشد. به دلیل این بیشترین مقاومت را نشان می‌دهد. که هر دو رقم در ربع دوم و چهارم قرار گرفته‌اند و دارای بیشترین فاصله از ATC می‌باشند و از طرفی برای کلیه ۲۱ ترکیب بیماری ۹۳٪ تغییرات را که سهم بسیار بالایی از کل تغییرات می‌باشد، دو مؤلفه اصلی توضیح می‌دهند و بنابراین ترکیب‌پذیری توسط بای‌پلات قابل توصیف است.

براساس بای‌پلات در پاتوتیپ $7E18A^-$ دو گروه هتروتیک، یک گروه فقط شامل رقم Karamu و گروه دیگر شامل سه رقم

عمومی و ترکیب‌پذیری خصوصی اورتوگونال هستند، بنابراین فاصله ژنوتیپ با محور افقی ATC نشانگر اثر SCA برای ارقام مختلف در یک نمایش گرافیکی بای‌پلات می‌باشد (Yan and Hunt, 2002). بر این اساس برای پاتوتیپ $7E18A^-$ ، دورگ حاصل از تلاقی رقم Karamu به ترتیب با ارقام Tancred و Briscard دارای بیشترین ترکیب‌پذیری خصوصی برای تولید دورگ‌های دارای مقاومت بالا به زنگ زرد (تیپ آلودگی پایین) بود نشان دادند و دورگ حاصل از تلاقی Kotare با ارقام Otane و Tiritea دارای قدرت ترکیب‌پذیری بالایی برای حساسیت (تیپ آلودگی بالا) می‌باشد. برای پاتوتیپ $38E0A^+$ دارای قابلیت ترکیب‌پذیری خصوصی بالایی برای تولید نتاج مقاوم به زنگ زرد و دورگ‌های Briscard \times Tiritea و Karamu \times Otane ترکیب خصوصی بالا برای حساسیت نشان دادند. دورگ \times Tiritea به دلیل این که هردو والد میانگین تیپ آلودگی بالا با اختلاف غیر معنی دار با یکدیگر دارند ($=6/7$ و $=7/7$) و والدین حساس می‌باشند، اما نتاج دورگ حاصل ترکیب‌پذیری خصوصی بالا برای مقاومت می‌باشند که نشان دهنده هتروزیس منفی نسبت به متوسط والدین برای تولید نتاج مقاوم به زنگ زرد می‌باشد. نظر به این که منفی بودن مقادیر ترکیب‌پذیری بیانگر کاهش تیپ آلودگی (مقاومت بیشتر) می‌باشد

مؤلفه اصلی اول و دوم در توضیح واریانس کل (%) ۷۲ می باشد.

به هر حال با وجود تنوع بین ارقام دورگهای مورد مطالعه برای ترکیب پذیری عمومی و خصوصی می توان نتیجه گرفت که امکان انتخاب برای ترکیب پذیری در پاتوتیپ های مختلف از بین این ارقام وجود دارد و انتخاب آن ها می تواند در برنامه های اصلاحی آتی برای مقاومت به زنگ زرد مفید باشد.

Tancred Briscard می باشد، که دارای قابلیت بالایی برای تولید هیریدهای با SCA منفی و تیپ آلدگی پایین و یا مقاومت بالا برای زنگ زرد، می باشند. برای پاتوتیپ 134E134A⁺ دو گروه هتروتیک که هر گروه فقط شامل یک رقم است، گروه اول شامل رقم Kotrare Briscard و گروه دوم شامل رقم 38E0A⁺ می باشد. اما در پاتوتیپ گروه های هترونیک به صورت کاملاً متمایز ممکن نیست، که احتمالاً به دلیل سهم پایین دو

References

منابع مورد استفاده

- سرمه اسفندیاری، ۱۳۲۶. ۱. زنگهای غلات در ایران. نشریه شماره ۴ مؤسسه آفات و بیماریهای گیاهی، ص ۶۲-۷۲.
- ب دهقانی، ح. ۱۳۸۰. مطالعه نحوه توارث مقاومت به زنگ زرد در ارقام گندم. رساله دکتری، دانشکده کشاورزی دانشگاه تبریز.
- نقی، م.، قنادها، م. ر.، و ترابی، م. ۱۳۷۷. تجزیه دی آلل برای تیپ آلدگی زنگ نواری گندم. نهال و بذر ۱۴: ۱-۷.

Broers, L. H. M. 1997. Components of quantitative resistance to yellow rust in ten spring bread wheat cultivars and their relation with field assessments. *Euphytica* 96: 215-223.

Chen, X. M., and Line, R. F. 1992a. Inheritance of stripe rust resistance in wheat cultivars used to differentiate races of *Puccinia striiformis* in North America. *Phytopathology* 86: 633-637.

Chen, X. M., and Line, R. F. 1992b. Identification of stripe resistance gene in wheat genotypes used to differentiate North American races of *Puccinia striiformis*. *Phytopathology* 82: 1428-1434.

Chen, X. M., and Line, R. F. 1993. Inheritance of stripe rust (yellow rust) resistance in wheat cultivar Carstent V. *Euphytica* 71: 107-113.

- Chen, X. M., and Line, R. F. 1995a.** Gene action in wheat cultivars for durable, high temperature, adult-plant resistance and inheritance with race specific, seedling resistance to *Puccinia striiformis*. *Phytopathology* 85: 567-572.
- Chen, X. M., and Line, R. F. 1995b.** Gene number and heritability of wheat cultivars with durable, high-temperature, adult-plant (HTAP) resistance and interaction of HTAP and race-specific seedling resistance *Puccinia striiformis*. *Phytopathology* 85: 573-578.
- Cooper, M., Stucker, R. E., DeLacy, I. H., and Harch, B. D. 1997.** Wheat breeding nurseries, target environments, and indirect selection for grain yield. *Crop Science* 37: 1168-1176.
- Cromey, M. G. 1992.** Adult plant resistance to stripe rust in some New Zealand wheat cultivars. *New Zealand Journal of Crop and Horticultural Science* 20: 413-419.
- Dehghani, H., Moghaddam, M., Ghannadha, M. R., Valizadeh, M., and Torabi, M. 2002.** Inheritance of the latent period of stripe rust in wheat. *Journal of Genetic and Breeding* 56: 155-163.
- Gabriel, K. R. 1971.** The biplot graphic display of matrices with application to principal component analysis. *Biometrika* 58: 453-467.
- Ghannadha, M. R., Gordon, I. L., and Cromey, M. G. 1995.** Diallel analysis of the latent period of stripe rust in wheat. *Theoretical and Applied Genetics* 90: 471-476.
- Johnson, R. 1981.** Durable disease resistance. pp. 55-63. In: Jenkyn, J. F., and Plumb, R. T. (eds.). *Strategies for Control of Cereal Disease*. Blackwell, Oxford.
- Johnson, R., Stubbs, R. W., Fuchs, E., and Chamberlain, N. H. 1972.** Nomenclature for physiologic races of *Puccinia striiformis* infecting wheat. *Transactions of the British Mycological Society* 58: 475-480.
- Line, R. F., Konzak, C. F., and Allan, R. E. 1974.** Evaluating resistance to *Puccinia striiformis* in wheat. pp. 125-132. In: *Induced Mutations for Disease Resistance in Crop Plants*. Published by International Atomic Energy Agency, Vienna.
- Lupton, F. G. H., and Macer, R. C. F. 1962.** Inheritance of resistance to yellow rust (*Puccinia glumarum*) in seven varieties of wheat. *Transactions of the British Mycological Society* 45: 21-45.
- Ma, H., and Singh, R. P. 1996.** Expression of adult-plant resistance to stripe rust at different growth stage of wheat. *Plant Disease* 80: 375-379.

- Ma, H., Singh, R. P., and Abdalla, O.** 1997. Resistance to stripe rust in five durum wheat cultivars. *Plant Disease* 81: 27-30.
- McNeal, F. H., Konzak, C. F., Smith, E. P., Tate, W. S., and Russell, T. S.** 1971. A uniform system for recording and processing cereal research data. United State Department of Agricultural Research Service. pp. 34-121.
- Moghaddam, M., Dehghani, H., Ghannadha, M. R., Valizadeh, M., and Torabi, M.** 2002. Genetic analysis of infection type of stripe rust in wheat. The proceedings of EUCARPIA Cereal Section Meeting, 21-25 November, Salsomaggiore, Italy. pp.215.
- Park, R. F., and Rees, R. G.** 1989. Expression of adult plant resistance and its effect on the development of *Puccinia striiformis* f. sp. *tritici* in some Australian wheat cultivars. *Plant Pathology* 38: 200-208.
- Robbelen, G., and Sharp, E. L.** 1978. Mode of Inheritance, Interaction, and Application of Genes Conditioning Resistance to Yellow Rust. Paul Parey Verlag, Berlin and Hamburg. 88 pp.
- Roelfs, A. P., Singh, R. P., and Saari, E. E.** 1992. Rust Disease of Wheat: Concepts and Methods of Disease Management. CIMMYT: Mexico, D. F. 81 pp.
- SAS Institute** 1996. SAS/STAT User's Guide. SAS Inst., Cary, NC.
- Torabi, M., Mardoukhi, V., Nazari, K., Afshari, F., Forotan, A. R., Ramai, M .A., Golzar, H., and Kashani, A. S.** 1995. Effectiveness of wheat yellow rust genes in different parts of Iran. *Cereal Rusts and Powdery Mildew Bulletin* 23: 9-12.
- Tsomin, Y., Wenhua, S., and Kequan,S.** 1990. Monosomic analysis for stripe rust and leaf rust resistance genes in winter wheat Luqiyu and Yanter. *Euphytica* 100: 51-54.
- Wiese, M. V.** 1991. Compendium of Wheat Diseases. 2nd ed., APS Press, St. Paul, Minnesota, USA. 112 pp.
- Wilcoxon, R. D., Skovmand, B., and Atif, A. H.** 1975. Evaluation of wheat cultivars for ability to retard development of stem rust . *Annals of Applied Biology* 80: 275-281.
- Yan, W.** 1999. Methodology of cultivar evaluation based on yield trial data with special reference to winter wheat in Ontario. Ph.D. thesis, University of Guelph, Guelph, Ontario, Canada.

- Yan, W., Cornelius, P. L., Crossa, J., and Hunt L.A. 2001.** Two types of GGEbiplots for analyzing mulit-environment trial data. *Crop Science* 41: 656-663.
- Yan, W., and Hunt, L.A. 2002.** Biplot analysis of diallel data. *Crop Science* 42: 21-31.
- Yan, W., Hunt, L. A., Sheng, Q., and Szlavnics, Z. 2000.** Cultivar evaluation and mega-environment investigation based on the GGEbiplot. *Crop Science* 40: 597-605.

آدرس نگارندها:

- حمدی دهقانی- گروه اصلاح نباتات، دانشکده کشاورزی دانشگاه تربیت مدرس، تهران.
- محمد ترابی- واحد پاتولوژی، بخش تحقیقات غلات، مؤسسه تحقیقات اصلاح و تهیه نهال و بذر، صندوق پستی ۴۱۱۹، کرج ۳۱۵۸۵.
- محمد مقدم- گروه زراعت و اصلاح نباتات، دانشکده کشاورزی دانشگاه تبریز.
- محمد رضا قنادها- گروه زراعت و اصلاح نباتات، دانشکده کشاورزی دانشگاه تهران، کرج.